



SPRAWOZDANIE NR 12/OS/0171/26

Z POMIARÓW NATĘŻENIA PÓL ELEKTROMAGNETYCZNYCH

WYKONANYCH DLA CELÓW OCHRONY ŚRODOWISKA

Miejsce wykonania badania:	GLI7103A	
	44-180 Płużniczka, Wiejska dz. nr 79/5, pow. gliwicki, woj. ŚLĄSKIE	
Współrzędne geograficzne:	50°28'24.00"N 18°30'37.40"E	
Data wykonania pomiarów:	20.04.2026	
Data wydania sprawozdania:	21.04.2026	
Zleceniodawca:	P4 sp. z o.o. ul. Wynalazek 1 02-667 Warszawa	
Data zlecenia:	16.04.2026	
Sprawozdanie wykonał:	Sprawdził:	Autoryzował:
inż. Monika Gendera Specjalista ds. analiz i wizualizacji wyników	mgr inż. Maciej Konieczny Kierownik Laboratorium	mgr inż. Wojciech Lubiński Kierownik ds. jakości

1. INFORMACJE O UŻYTKOWNIKU ¹

- **Zleceniodawca:** P4 sp. z o.o. ul. Wynalazek 1, 02-667 Warszawa
- **Typ obiekt:** Instalacja radiokomunikacyjna zainstalowana na wieży kratowej
- **Numer obiektu:** GLI7103A
- **Adres obiektu:** 44-180 Płużniczka, Wiejska dz. nr 79/5, pow. gliwicki, woj. ŚLĄSKIE
- **Współrzędne geograficzne:** 50°28'24.00"N 18°30'37.40"E

2. CHARAKTERYSTYKA ŹRÓDEŁ PEM ¹

Tabela 1. Parametry systemu nadawczo-odbiorczego

Charakterystyka promieniowania				kierunkowa					
Rzeczywisty czas pracy [h/dobę]				Całodobowa 24h					
Warunki pracy				Znamionowe					
Rodzaj wytwarzanego pola				stacjonarne					
Lp.	Typ nadajnika	Antena Producent / Typ	Azymut [°]	Wysokość środka elektr. anteny [m n.p.t.]	Pasma [Mhz]	Kąt nachylenia [°]	EIRP dla anteny [W]	LON	LAT
1	DBS3xxx/5xxx	Huawei AQU4518R24	30	41	700	0 - 10	31360	18°30'37.40"E	50°28'24.00"N
	DBS3xxx/5xxx				800	0 - 10		18°30'37.40"E	50°28'24.00"N
	DBS3xxx/5xxx				900	0 - 10		18°30'37.40"E	50°28'24.00"N
	DBS3xxx/5xxx				1800	2 - 12		18°30'37.40"E	50°28'24.00"N
	DBS3xxx/5xxx				2100	2 - 12		18°30'37.40"E	50°28'24.00"N
2	DBS3xxx/5xxx	Huawei AQU4518R24	150	41	700	0 - 10	31360	18°30'37.40"E	50°28'24.00"N
	DBS3xxx/5xxx				800	0 - 10		18°30'37.40"E	50°28'24.00"N
	DBS3xxx/5xxx				900	0 - 10		18°30'37.40"E	50°28'24.00"N
	DBS3xxx/5xxx				1800	2 - 12		18°30'37.40"E	50°28'24.00"N
	DBS3xxx/5xxx				2100	2 - 12		18°30'37.40"E	50°28'24.00"N
3	DBS3xxx/5xxx	Huawei AQU4518R24	270	41	700	0 - 10	28694	18°30'37.40"E	50°28'24.00"N
	DBS3xxx/5xxx				800	0 - 10		18°30'37.40"E	50°28'24.00"N
	DBS3xxx/5xxx				900	0 - 10		18°30'37.40"E	50°28'24.00"N
	DBS3xxx/5xxx				1800	2 - 12		18°30'37.40"E	50°28'24.00"N
	DBS3xxx/5xxx				2100	2 - 12		18°30'37.40"E	50°28'24.00"N

¹ Dane pozyskane od Klienta

Tabela 2. Parametry radiolinii

Charakterystyka promieniowania				kierunkowa					
Rzeczywisty czas pracy [h/dobę]				24					
Rodzaj wytwarzanego pola				stacjonarne					
Linia radiowa				Antena					
Lp.	Typ nadajnika	Częstotliwość pracy [GHz]	Moc wyjściowa [dBm]	Typ/producent	Średnica anteny [m]	Azymut [°]	Wysokość zainstal. [m]	LON	LAT
1	OPTIX RTN/HUAWEI	80	26	0.6-80(A80S06)	0,6	158	38,5	18°30'37.39"E	50°28'24.01"N
2	OPTIX RTN/HUAWEI	80	26	0.6-80(A80S06)	0,6	261	38,5	18°30'37.39"E	50°28'24.01"N

Inne źródła PEM: W obszarze pomiarowym badanego obiektu **nie występują** inne źródła promieniowania pola elektromagnetycznego, które w zakresie badanych częstotliwości bezpośrednio wpływają na wynik wartości mierzonej natężenia pola.

3. OPIS POMIARÓW

Cel badań: Sprawdzenie dotrzymania dopuszczalnych poziomów pól elektromagnetycznych, w otoczeniu instalacji wytwarzających takie pola.

3.1. Data oraz warunki pomiarów

Data pomiarów	Godzina		Opady	Temperatura [C]		Wilgotność [%]	
	rozpoczęcia pomiarów	zakończenia pomiarów		Minimalna	Maksymalna	Minimalna	Maksymalna
20.04.2026	13:50	14:20	Brak	7,8	7,9	65,6	65,7

3.2. Aparatura pomiarowa:

Tabela 3. Opis zestawu pomiarowego

Nazwa	Typ/model	Numer fabryczny/SN	Świadectwo wzorcowania	Zastosowanie
Szerokopasmowy miernik natężenia pola elektromagnetycznego	NBM- 520	D-2775	LWiMP/W/209/24 z dnia 10.06.2024 (Laboratorium Wzorców i Metrologii Pola Elektromagnetycznego Instytutu Telekomunikacji, Teleinformatyki i Akustyki Politechniki Wrocławskiej)	Pomiary pola elektromagnetycznego
Sonda pomiarowa pola elektrycznego	EF-9091	B-0081		
Sonda pomiarowa pola magnetycznego	HF-0191	E-0071	LWiMP/W/228/24 z dnia 20.06.2024	
Termohigrometr	Termioplus - S	SN 120823	586/2024 z dnia 01.03.2024 (Instytut Energetyki - Państwowy Instytut Badawczy)	Pomiary wilgotności względnej powietrza Pomiary temperatury powietrza
Dalmierz	Bosch GmbH	328505488	Nr. Św. 30.1889124-1 z dn. 29.05.2024 Centralne Laboratorium Dozoru Technicznego	Pomiar odległości
Odbiornik GPS	Garmin GLO2	1792A-A1156/5PS066633	-	Pomiar współrzędnych geograficznych

3.3. Wyznaczenie niepewności pomiarów:

Ocenę niepewności przyjmuje się zgodnie z procedurą stosowaną w laboratorium.

Wyznaczona rozszerzona niepewność pomiaru dla współczynnika rozszerzenia $k = 2$ dla zestawu pomiarowego z pkt.3.2 w dniu pomiaru wynosi 58,67%.

3.4. Kryteria przedstawiania stwierdzeń zgodności

Niniejsze sprawozdanie zgodnie z zasadami systemu akredytacji zawiera stwierdzenia zgodności.

W przypadku badań poziomów pola elektromagnetycznego w środowisku stwierdzenie zgodności dotyczy rozstrzygnięcia, czy zmierzona wartość opisująca pole elektromagnetyczne przekracza wartość dopuszczalną dla zakresu częstotliwości, w którym pracują źródła podaną w Rozporządzeniu Ministra Zdrowia z dnia 17 grudnia 2019 r. w sprawie dopuszczalnych poziomów pól elektromagnetycznych w środowisku (Dz. U. z 2019 r. poz. 2448).

3.5. Metodyka wykonania pomiarów:

Zastosowano metodę znormalizowaną w oparciu o Rozporządzenie Ministra Klimatu i Środowiska z dnia 6 maja 2022 r. zmieniające rozporządzenie w sprawie sposobów sprawdzania dotrzymania dopuszczalnych poziomów pól elektromagnetycznych w środowisku (Dz.U. 2022 poz. 1121).

3.6. Przepisy prawne:

- Ustawa z dnia 27 kwietnia 2001 r. Prawo ochrony środowiska (Dz.U. 2024 r. poz. 834).
- Rozporządzenie Ministra Zdrowia z dnia 17 grudnia 2019 r. w sprawie dopuszczalnych poziomów pól elektromagnetycznych w środowisku (Dz. U. z 2019 r. poz. 2448).
- Rozporządzenie Ministra Klimatu z dnia 17 lutego 2020 r. w sprawie sposobów sprawdzania dotrzymania dopuszczalnych poziomów pól elektromagnetycznych w środowisku Załącznik do obwieszczenia Ministra Klimatu i Środowiska z dnia 21 listopada 2022 r. (Dz. U. poz. 2630).

3.7. Opis pomiarów

Stacja bazowa GLI7103A usytuowana jest na wieży kratowej zlokalizowanej pod adresem 44-180 Płużniczka, Wiejska dz. nr 79/5, pow. gliwicki, woj. ŚLĄSKIE. Anteny i moduły RRU zamontowane są na antenowych konstrukcjach wsporczych a urządzenia są w szafie APM zainstalowanej u podnóża wieży. W otoczeniu stacji zlokalizowana jest zabudowa jednorodzinna oraz pola uprawne. Analiza parametrów technicznych wykazała, że urządzenia nadawcze stacji pracują w paśmie częstotliwości zgodnie z tabelą 1 oraz tabelą 2. Moc wyjściowa nadajników doprowadzona jest do anten przy pomocy ekranowanych fiderów.

Pomiary w otoczeniu stacji bazowej wykonano wzdłuż kierunków maksymalnego zasięgu oddziaływania pola elektromagnetycznego na kierunkach osi głównych wiązek anten sektorowych do odległości określonej zgodnie z wytycznymi zawartymi w instrukcji wykonywania pomiarów, podczas rzeczywistej pracy urządzeń wytwarzających pola elektromagnetyczne.

Pomiary wykonano dla średniego pochylenia wiązki liczonego jako średnia arytmetyczna z minimalnej i maksymalnej wartości stosowanego lub planowanego kąta pochylenia. Średnie wartości tilt ustawiane są przez Klienta. W przypadku, gdy na danym azymucie zainstalowano kilka anten, średnia wartości tilt ustawiona jest jednakowa dla wszystkich anten. Przyjmuje się najgorszą wartość spośród anten zainstalowanych na danym kierunku.

Pomiary w przyjętych pionach pomiarowych wykonano w punktach położonych na wysokościach od 0,3 m do 2,0 m nad powierzchnią ziemi lub nad innymi powierzchniami, na których mogą przebywać ludzie, przyjmując za wynik pomiaru maksymalny poziom natężenie pól elektromagnetycznego.

Pomiary wykonano w dodatkowych pionach pomiarowych w lokalach oraz na balkonach i tarasach, na których mogą przebywać ludzie, po poinformowaniu o planowanych pomiarach z minimum 3-dniowym wyprzedzeniem i po umożliwieniu dostępu do lokalu, balkonu lub tarasu przez jego dysponenta lub bez zachowania terminu wskazanego w pierwszej części zdania za zgodą dysponenta przestrzeni pomiarowej.

Punkty pomiarowe wewnątrz budynków oraz na tarasach/balkonach wyznaczono na podstawie przeprowadzonych obliczeń rozkładu pola elektromagnetycznego. Jako wartość graniczną do wyznaczenia odległości zasięgu pola elektromagnetycznego przyjęto wartość 9 V/m. Jest to wartość wypadkowa po uwzględnieniu współczynników odpowiadającym emisji z obcych źródeł promieniowania elektromagnetycznego oraz efekt odbicia fal radiowych. Obliczenia te wykonywane są uwzględniając parametry systemu antenowego dostarczone przez Klienta, W tym obszarze pomiary w budynkach wykonywane są obligatoryjnie. Jeżeli w ww. obszarze nie zlokalizowano żadnych budynków dodatkowo wyznaczono reprezentatywne budynki, wewnątrz których wykonano dodatkowe pomocnicze punkty pomiarowe.

Przy doborze pionów pomiarowych uwzględniono charakter i sposób zagospodarowania terenu otaczającego stację bazową.

3.8. Sposób identyfikacji widma częstotliwości:

Parametry stacji bazowej uzyskane od właściciela instalacji stacji bazowej.

4. WYNIKI POMIARÓW

Wyniki pomiarów ważne są jedynie dla danej konfiguracji urządzeń w dniu, w którym wykonano pomiary.

Wynik pomiaru, to maksymalna wartości chwilowa zmierzona w danym pionie pomiarowym powiększona o rozszerzoną niepewność pomiaru U dla współczynnika rozszerzenia $k = 2$ (dla poziomu ufności 95%).

Tabela 4. Dopuszczalne poziomy pól elektromagnetycznych

Parametr fizyczny Zakres częstotliwości pola elektromagnetycznego	Składowa elektryczna	Składowa magnetyczna
od 400 MHz do 2000 MHz	$1,375 \times f^{0,5}$ V/m	$0,00375 \times f^{0,5}$ A/m
Od 2 GHz do 300 GHz	61 V/m	0,16 A/m

Do wyznaczania wartości wskaźnikowych WM_E i WM_H przyjęto najniższe wartości dopuszczalne poziomów pól elektromagnetycznych w/w zakresów częstotliwości.

Tabela 5. Wyniki pomiarów

Nr pionu	Opis miejsca pomiaru	Pomiar wewnątrz pomieszczenia	Współrzędne geograficzne		Wynik poniżej progu detekcji*	E_p [V/m]	U [V/m]	$E_p + U$ [V/m]	H [A/m]	WM_E	WM_H	Przekroczenie wartości dopuszczalnej
			[°] E	[°] N								
1	Poziom gruntu - Główny kierunek pomiarowy anteny sektorowej azymut 30st	NIE	18,510493942	50,473460713	TAK	<0,80	0,47	1,27	0,003	0,05	0,046	nie przekracza
2	Poziom gruntu - Główny kierunek pomiarowy anteny sektorowej azymut 30st	NIE	18,510851439	50,473812517	TAK	<0,80	0,47	1,27	0,003	0,05	0,046	nie przekracza
3	Poziom gruntu - Główny kierunek pomiarowy anteny sektorowej azymut 30st	NIE	18,511122321	50,474159348	TAK	<0,80	0,47	1,27	0,003	0,05	0,046	nie przekracza
4	Poziom gruntu - Główny kierunek pomiarowy anteny sektorowej azymut 30st	NIE	18,511665426	50,474723954	TAK	<0,80	0,47	1,27	0,003	0,05	0,046	nie przekracza
5	Poziom gruntu - Główny kierunek pomiarowy anteny sektorowej azymut 30st	NIE	18,512079393	50,475205050	TAK	<0,80	0,47	1,27	0,003	0,05	0,046	nie przekracza
6	Poziom gruntu - Główny kierunek pomiarowy anteny sektorowej azymut 30st	NIE	18,512322112	50,475482621	TAK	<0,80	0,47	1,27	0,003	0,05	0,046	nie przekracza
7	Poziom gruntu - Główny kierunek pomiarowy anteny sektorowej azymut 270st	NIE	18,509967910	50,473343268	TAK	<0,80	0,47	1,27	0,003	0,05	0,046	nie przekracza
8	Poziom gruntu - Główny kierunek pomiarowy anteny sektorowej azymut 270st	NIE	18,509252911	50,473340256	TAK	<0,80	0,47	1,27	0,003	0,05	0,046	nie przekracza

Nr pionu	Opis miejsca pomiaru	Pomiar wewnątrz pomieszczenia	Współrzędne geograficzne		Wynik poniżej progu detekcji*	E_p [V/m]	U [V/m]	$E_p + U$ [V/m]	H [A/m]	WM _E	WM _H	Przekroczenie wartości dopuszczalnej
			[°] E	[°] N								
9	Poziom gruntu - Główny kierunek pomiarowy anteny sektorowej azymut 270st	NIE	18,508285135	50,473336172	TAK	<0,80	0,47	1,27	0,003	0,05	0,046	nie przekracza
10	Poziom gruntu - Główny kierunek pomiarowy anteny sektorowej azymut 270st	NIE	18,507389533	50,473336994	TAK	<0,80	0,47	1,27	0,003	0,05	0,046	nie przekracza
11	Poziom gruntu - Główny kierunek pomiarowy anteny sektorowej azymut 270st	NIE	18,506508280	50,473347088	TAK	<0,80	0,47	1,27	0,003	0,05	0,046	nie przekracza
12	Poziom gruntu - Główny kierunek pomiarowy anteny sektorowej azymut 150st	NIE	18,510511099	50,473198058	TAK	<0,80	0,47	1,27	0,003	0,05	0,046	nie przekracza
13	Poziom gruntu - Główny kierunek pomiarowy anteny sektorowej azymut 150st	NIE	18,510869077	50,472803169	TAK	<0,80	0,47	1,27	0,003	0,05	0,046	nie przekracza
14	Poziom gruntu - Główny kierunek pomiarowy anteny sektorowej azymut 150st	NIE	18,511409738	50,472201631	TAK	<0,80	0,47	1,27	0,003	0,05	0,046	nie przekracza
15	Poziom gruntu - Główny kierunek pomiarowy anteny sektorowej azymut 150st	NIE	18,511848233	50,471701064	TAK	<0,80	0,47	1,27	0,003	0,05	0,046	nie przekracza
16	Poziom gruntu - Główny kierunek pomiarowy anteny sektorowej azymut 150st	NIE	18,512337510	50,471177662	TAK	<0,80	0,47	1,27	0,003	0,05	0,046	nie przekracza
17	Poziom gruntu - Główny kierunek pomiarowy anteny radioliniowej azymut 261st	NIE	18,509751911	50,473277829	TAK	<0,80	0,47	1,27	0,003	0,05	0,046	nie przekracza
18	Poziom gruntu - Główny kierunek pomiarowy anteny radioliniowej azymut 261st	NIE	18,508979947	50,473196218	TAK	<0,80	0,47	1,27	0,003	0,05	0,046	nie przekracza
19	Poziom gruntu - Główny kierunek pomiarowy anteny radioliniowej azymut 158st	NIE	18,510563320	50,473036955	TAK	<0,80	0,47	1,27	0,003	0,05	0,046	nie przekracza
20	Poziom gruntu - Główny kierunek pomiarowy anteny radioliniowej azymut 158st	NIE	18,510908231	50,472508343	TAK	<0,80	0,47	1,27	0,003	0,05	0,046	nie przekracza
21	Poziom gruntu - pomocniczy pion pomiarowy	NIE	18,510080007	50,472979611	TAK	<0,80	0,47	1,27	0,003	0,05	0,046	nie przekracza
22	Poziom gruntu - pomocniczy pion pomiarowy	NIE	18,510174068	50,473662173	TAK	<0,80	0,47	1,27	0,003	0,05	0,046	nie przekracza
23	Poziom gruntu - pomocniczy pion pomiarowy	NIE	18,511117336	50,473242089	TAK	<0,80	0,47	1,27	0,003	0,05	0,046	nie przekracza

Objaśnienia:

$$E_p: E_{poprawne} = E_{wskazane} * C_{d(E)} * C_{f(f)}$$

$E_{wskazane}$ - zmierzona maksymalna wartość chwilowa natężenia pola elektrycznego

$C_{d(E)}$ – charakterystyka dynamiczna sondy – zgodna ze świadectwem wzorcowania

$C_{f(f)}$ – charakterystyka częstotliwościowa sondy – zgodna ze świadectwem wzorcowania

H – wyznaczona wartość natężenia pola magnetycznego z uwzględnieniem współczynnika korekcyjnego oraz rozszerzonej niepewności pomiaru.

WM_E - wartość wskaźnikowa poziomu oddziaływania pól elektromagnetycznych dla miejsc dostępnych dla ludności dla składowej elektrycznej pola.

WM_H - wartość wskaźnikowa poziomu oddziaływania pól elektromagnetycznych dla miejsc dostępnych dla ludności dla składowej magnetycznej pola.

* Wynik poniżej progu detekcji - wartość zmierzona poniżej zakresu akredytacji. Do obliczeń przyjęto wartość zgodną z dolną granicą akredytowanego zakresu pomiarowego metody.

Piony pomiarowe wewnątrz budynków oraz na tarasach/balkonach wyznaczono na podstawie przeprowadzonych obliczeń rozkładu pola elektromagnetycznego zgodnie z wewnętrznymi procedurami laboratorium.

* * - Brak dostępu

5. WNIOSKI

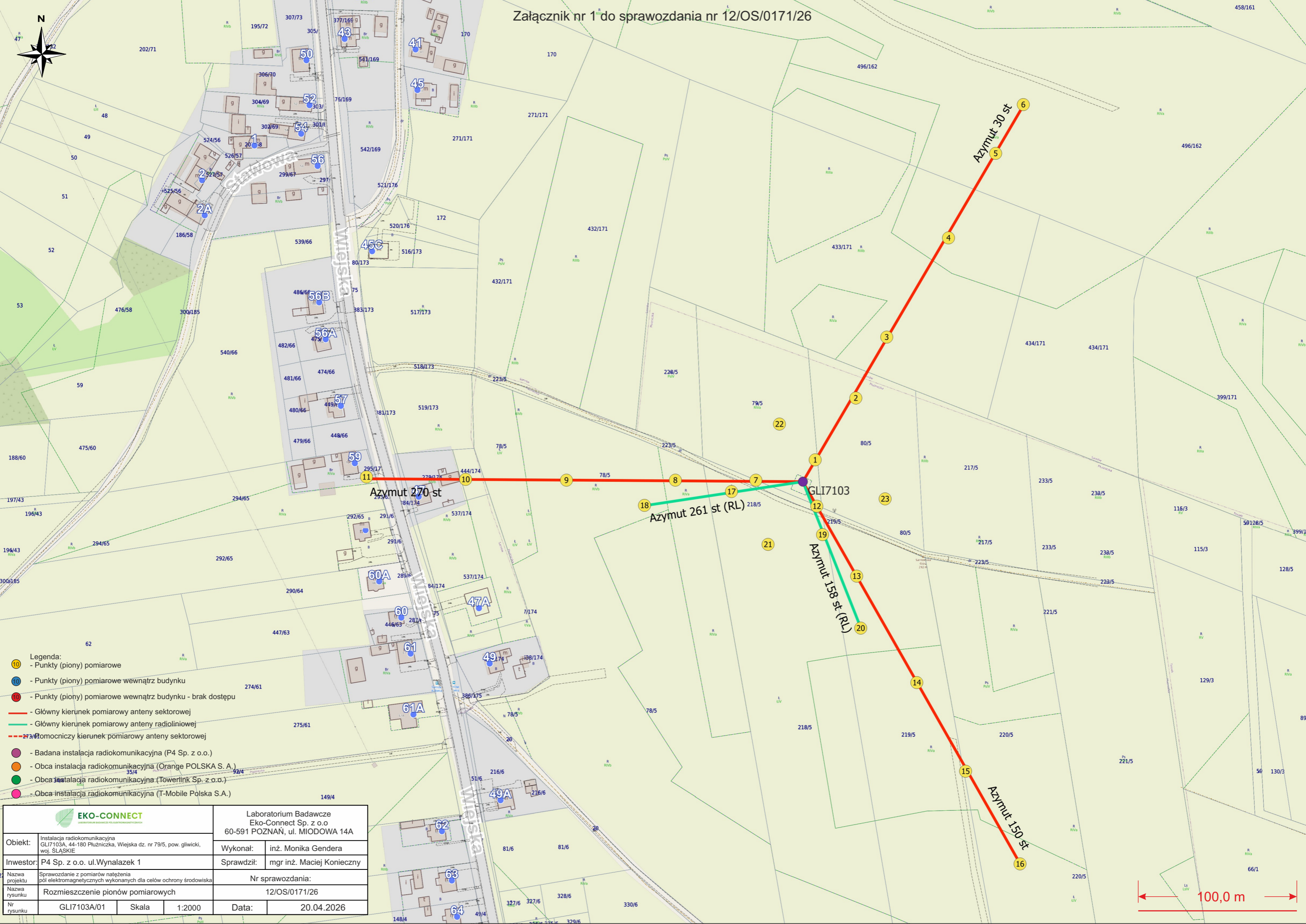
Stwierdza się, iż na podstawie uzyskanych wyników pomiarów i informacji uzyskanych od operatora, w otoczeniu stacji bazowej telefonii komórkowej GLI7103A w miejscach dostępnych dla ludności, w których dokonano pomiaru, nie zostały przekroczone wartości graniczne poziomów pól elektromagnetycznych określonych w Rozporządzeniu Ministra Zdrowia z dnia 17 grudnia 2019 r. w sprawie dopuszczalnych poziomów pól elektromagnetycznych w środowisku (Dz. U. z 2019 r. poz. 2448).

Stwierdzenie zgodności zostało przedstawione na podstawie wyników badań oraz informacji uzyskanych od Klienta (za które Laboratorium nie ponosi odpowiedzialności) dla instalacji opisanej w punkcie 2. Stwierdzenia zgodności dokonano na podstawie zasady podejmowania decyzji i wymagań zawartych w załączniku do Rozporządzenia Ministra Klimatu z dnia 17 lutego 2020 r. w sprawie sposobów sprawdzania dotrzymania dopuszczalnych poziomów pól elektromagnetycznych w środowisku (Dz.U. 2022 poz. 2630 z 15.12.2022r.).

- Sprawozdanie zawiera 10 stron
- Załączniki: nr 1 – mapa z rozmieszczeniem pionów pomiarowych wokół obiektu
- Otrzymują:
 1. Zleceniodawca: - 1 egz.
 2. a / a: 1 egz.

Bez pisemnego zezwolenia laboratorium Eko-Connect Sp. z o.o. sprawozdanie nie może być powielane inaczej, jak tylko w całości.

KONIEC SPRAWOZDANIA



- Legenda:**
- - Punkty (piony) pomiarowe
 - - Punkty (piony) pomiarowe wewnątrz budynku
 - - Punkty (piony) pomiarowe wewnątrz budynku - brak dostępu
 - - Główny kierunek pomiarowy anteny sektorowej
 - - Główny kierunek pomiarowy anteny radioliniowej
 - - - - Pomocniczy kierunek pomiarowy anteny sektorowej
 - - Badana instalacja radiokomunikacyjna (P4 Sp. z o.o.)
 - - Obca instalacja radiokomunikacyjna (Orange POLSKA S. A.)
 - - Obca instalacja radiokomunikacyjna (Towerlink Sp. z o.o.)
 - - Obca instalacja radiokomunikacyjna (T-Mobile Polska S.A.)

		Laboratorium Badawcze Eko-Connect Sp. z o.o 60-591 POZNAŃ, ul. MIODOWA 14A	
		Wykonał: inż. Monika Gendera	Sprawdził: mgr inż. Maciej Konieczny
Obiekt: Instalacja radiokomunikacyjna GLI7103A, 44-180 Płużniczka, Wiejska dz. nr 79/5, pow. gliwicki, woj. ŚLĄSKIE	Nr sprawozdania: 12/OS/0171/26		
Inwestor: P4 Sp. z o.o. ul.Wynalazek 1	Data: 20.04.2026		
Nazwa projektu: Sprawozdanie z pomiarów natężenia pól elektromagnetycznych wykonanych dla celów ochrony środowiska	Nr rysunku: GLI7103A/01		
Nazwa rysunku: Rozmieszczenie pionów pomiarowych	Skala: 1:2000	Data: 20.04.2026	

